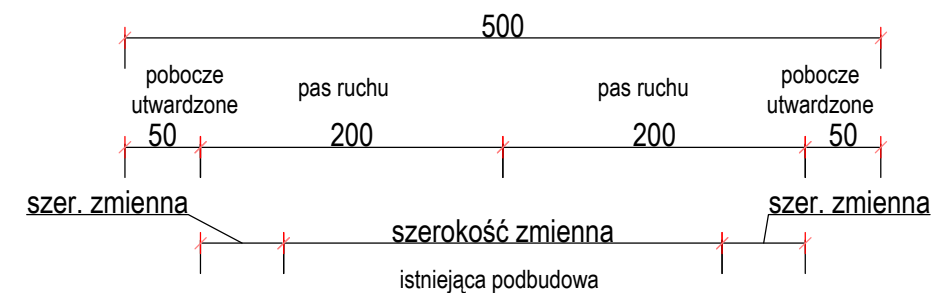
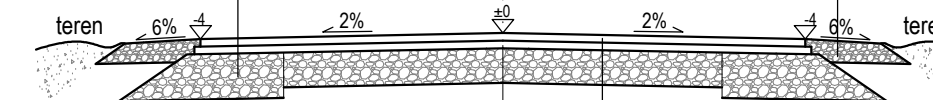


od km 0+000,00 do km 0+188,20  
od km 0+200,90 do km 0+258,10  
od km 0+270,80 do km 0+297,70  
od km 0+316,00 do km 0+363,65  
z wyjątkiem skrzyżowań

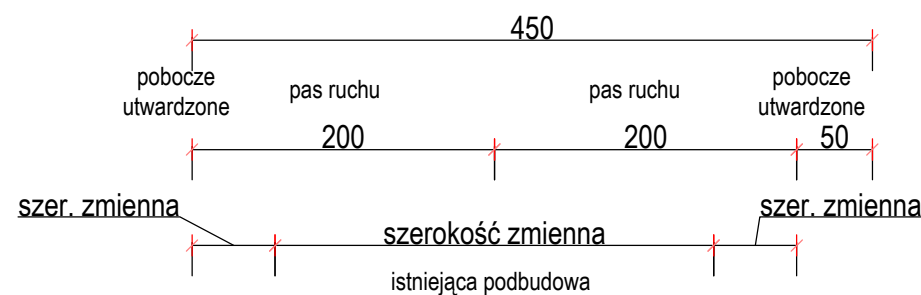




|   |   |   |   |
|---|---|---|---|
| warstwa ścierna z bet. asf. AC 11S KR1 gr. 4 cm                 |  |  | <p>pobocze z kruszywa łamanego<br/>dolomitowego 0/31,5 mm gr. 15 cm</p> |
| warstwa wiążąca z bet. asf. AC 16W KR1 gr. 4 cm                 |   |   |   |
| podbudowa z kruszywa łamanego dolomitowego<br>0/63 mm gr. 30 cm |   |   |   |

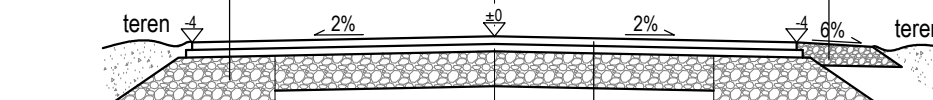


|   |
|---|
| warstwa ścieralna z bet. asf. AC 11S KR1 gr. 4 cm               |
| warstwa wiążąca z bet. asf. AC 16W KR1 gr. 4 cm                 |
| podbudowa z kruszywa łamanego<br>dolomitowego 0/63 mm gr. 23 cm |

od km 0+297,70 do km 0+311,55  
z wyjątkiem skrzyżowań

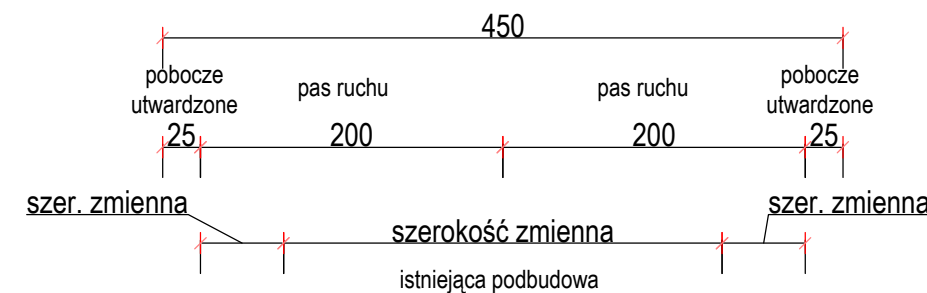


|  |   |   |   |
|--|---|---|---|
| warstwa ścieralna z bet. asf. AC 11S KR1 gr. 4 cm            |  |  | <p>pobocze z kruszywa łamanego dolomitowego 0/31,5 mm gr. 15 cm</p> |
| warstwa wiążąca z bet. asf. AC 16W KR1 gr. 4 cm              |   |   |   |
| podbudowa z kruszywa łamanego dolomitowego 0/63 mm gr. 30 cm |   |   |   |

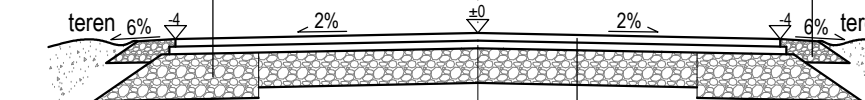


|   |
|---|
| warstwa ścieralna z bet. asf. AC 11S KR1 gr. 4 cm               |
| warstwa wiążąca z bet. asf. AC 16W KR1 gr. 4 cm                 |
| podbudowa z kruszywa łamanego<br>dolomitowego 0/63 mm gr. 23 cm |

od km 0+192,35 do km 0+197,60  
od km 0+265,90 do km 0+267,00  
z wyjątkiem skrzyżowań

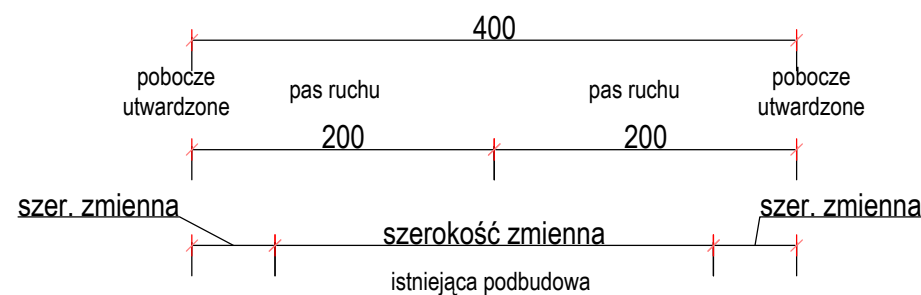


|   |   |   |   |
|---|---|---|---|
| warstwa ścierna z bet. asf. AC 11S KR1 gr. 4 cm                 |  |  | <p>pobocze z kruszywa łamanego<br/>dolomitowego 0/31,5 mm gr. 15 cm</p> |
| warstwa wiążąca z bet. asf. AC 16W KR1 gr. 4 cm                 |   |   |   |
| podbudowa z kruszywa łamanego dolomitowego<br>0/63 mm gr. 30 cm |   |   |   |

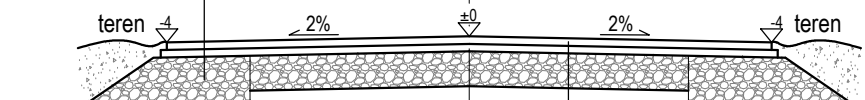


|   |
|---|
| warstwa ścieralna z bet. asf. AC 11S KR1 gr. 4 cm               |
| warstwa wiążąca z bet. asf. AC 16W KR1 gr. 4 cm                 |
| podbudowa z kruszywa łamanego<br>dolomitowego 0/63 mm gr. 23 cm |

od km 0+311,55 do km 0+316,00  
z wyjątkiem skrzyżowań

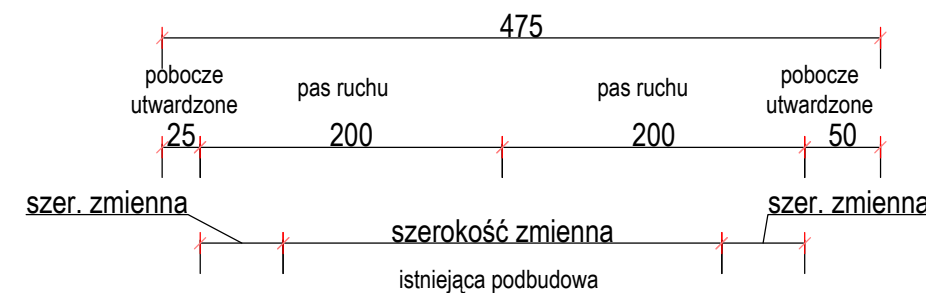


|   |   |   |
|---|---|---|
| warstwa ścieralna z bet. asf. AC 11S KR1 gr. 4 cm               |  |  |
| warstwa wiążąca z bet. asf. AC 16W KR1 gr. 4 cm                 |   |   |
| podbudowa z kruszywa łamanego dolomitowego<br>0/63 mm gr. 30 cm |   |   |

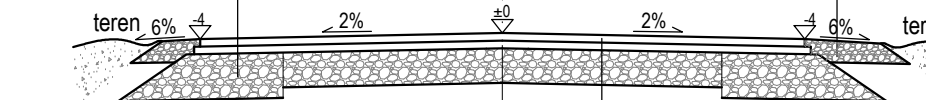


|   |
|---|
| warstwa ścieralna z bet. asf. AC 11S KR1 gr. 4 cm               |
| warstwa wiążąca z bet. asf. AC 16W KR1 gr. 4 cm                 |
| podbudowa z kruszywa łamanego<br>dolomitowego 0/63 mm gr. 23 cm |

od km 0+188,20 do km 0+192,35  
od km 0+197,60 do km 0+200,90  
od km 0+1267,00 do km 0+270,80  
z wyjątkiem skrzyżowań

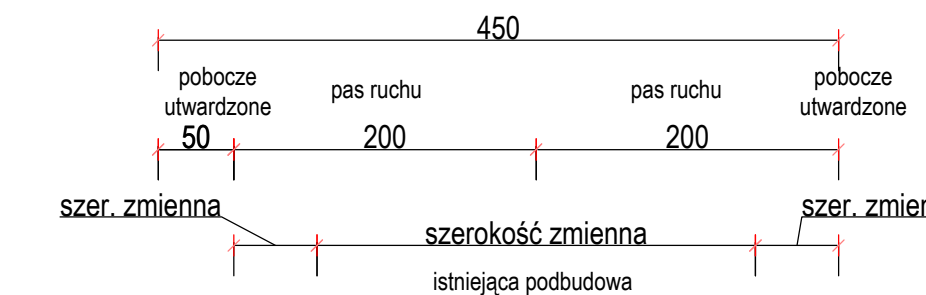


|   |   |   |   |
|---|---|---|---|
| warstwa ścierna z bet. asf. AC 11S KR1 gr. 4 cm                 |  |  | <p>pobocze z kruszywa łamanego<br/>dolomitowego 0/31,5 mm gr. 15 cm</p> |
| warstwa wiążąca z bet. asf. AC 16W KR1 gr. 4 cm                 |   |   |   |
| podbudowa z kruszywa łamanego dolomitowego<br>0/63 mm gr. 30 cm |   |   |   |

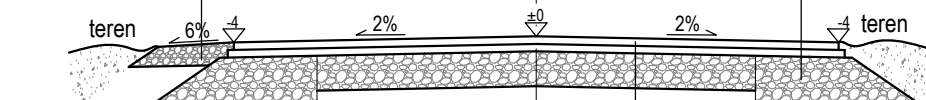


|   |
|---|
| warstwa ścieralna z bet. asf. AC 11S KR1 gr. 4 cm               |
| warstwa wiążąca z bet. asf. AC 16W KR1 gr. 4 cm                 |
| podbudowa z kruszywa łamanego<br>dolomitowego 0/63 mm gr. 23 cm |

od km 0+363,65 do km 0+364,88  
z wyjątkiem skrzyżowań

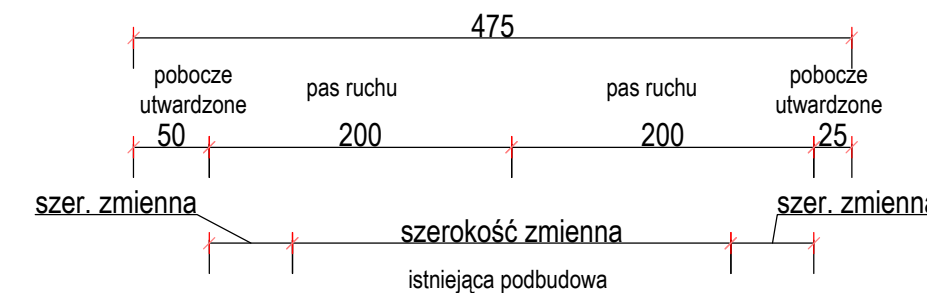


|   |   |   |   |
|---|---|---|---|
| <p>pobocze z kruszywa łamanego dolomitowego 0/31,5 mm gr. 15 cm</p> |  |  | <p>warstwa ścierna z bet. asf. AC 11S KR1 gr. 4 cm<br/>warstwa wiążąca z bet. asf. AC 16W KR1 gr. 4 cm<br/>podbudowa z kruszywa łamanego dolomitowego 0/63 mm gr. 30 cm</p> |
|---|---|---|---|

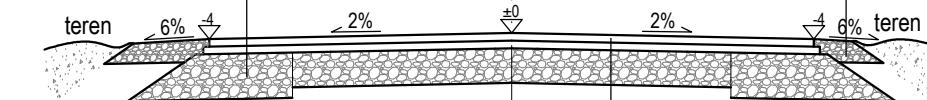


|   |
|---|
| warstwa ścierna z bet. asf. AC 11S KR1 gr. 4 cm                 |
| warstwa wiążąca z bet. asf. AC 16W KR1 gr. 4 cm                 |
| podbudowa z kruszywa łamanego<br>dolomitowego 0/63 mm gr. 23 cm |

od km 0+258,10 do km 0+265,90  
z wyjątkiem skrzyżowań

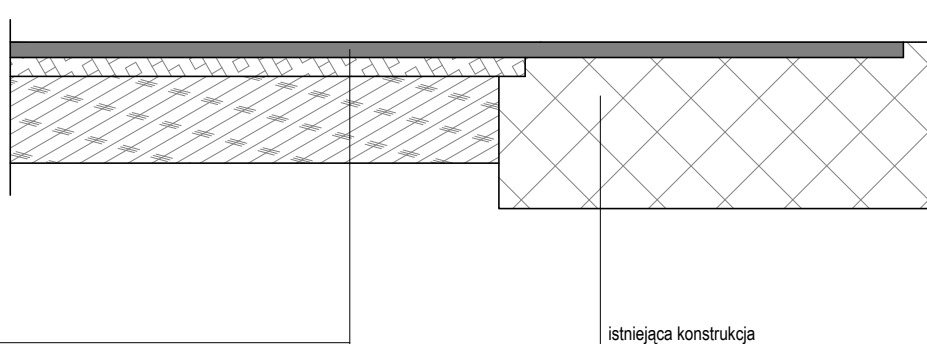


|   |   |   |   |
|---|---|---|---|
| warstwa ścierna z bet. asf. AC 11S KR1 gr. 4 cm                 |  |  | pobocze z kruszywa łamanego<br>dolomitowego 0/31,5 mm gr. 15 cm |
| warstwa wiążąca z bet. asf. AC 16W KR1 gr. 4 cm                 |   |   |   |
| podbudowa z kruszywa łamanego dolomitowego<br>0/63 mm gr. 30 cm |   |   |   |



|   |
|---|
| warstwa ścierna z bet. asf. AC 11S KR1 gr. 4 cm                 |
| warstwa wiążąca z bet. asf. AC 16W KR1 gr. 4 cm                 |
| podbudowa z kruszywa łamanego<br>dolomitowego 0/63 mm gr. 23 cm |

Szczegół łączenia warstw konstrukcyjnych  
projektowanej nawierzchni z istniejącą  
nawierzchnią bitumiczną innych dróg  
skala 1:20



|   |
|---|
| warstwa ścierna 4 cm AC 11S KR1                         |
| warstwa wiążąca 4 cm AC 16W KR1                         |
| podbudowa z kruszywa łamanego dolomitowego 0/63mm 23 cm |

|   |  |                  |               |
|---|--|------------------|---------------|
| BIURO PROJEKTOWO-INWESTYCYJNE OMEGA S.C. M.ANDRYSIAK, D.KUCHARCZYK UL. SUCHARSKIEGO 353 RADOMSKO<br>tel/fax: 0 (44) 738-12-01, e-mail: biuro@o-mega.pl, www.o-mega.pl |  |                  |               |
| OBIEKT  | DROGA SRODOPOLNA   |                  |               |
| ADRES INWESTYCJI:   | Biała, gm. Rzęśnia<br>DZ.NR EWID.: 91, 207 OBWED Biała                                 |                  |               |
| INWESTOR:   | GMINA RZĄSŃA<br>98-332 RZĄSŃA, UL. KOŚCISZKI 16  |                  |               |
| TEMAT:  | PRZEBUDOWA PASA DROGOWEGO DROGI GMINNEJ POŁOŻONEJ W MIEJSCOWOŚCI<br>BIAŁA GMINA RZĄSŃA |                  |               |
| ETAP OPRACOWANIA:   | PROJEKT WYKONAWCZY   | BRANŻA:          | DROGOWA       |
| AUTORZY OPRACOWANIA:  | IMI, I NAZWIŚKO :  | NR UPRAWNIENI:   | PODPIS:       |
| PROJEKTANT SPEC. DROGOWA:   | mgr inż. MONIKA ANDRYSIAK  | LOD/0842/POOD/07 |               |
| NAZWA RYSUNKU:  | SKALA:   | NUMER RYSUNKU:   | DATA:         |
| PRZEKROJE NORMALNE  | 1:50   | D-03             | CZERWIEC 2016 |
| - etap 2  | 1:20   |                  |               |